短篇

颅内巨大副神经节瘤 一例及文献复习

黄燕涛* 冷媛媛 杨 婧 肖 瑞 郑春燕

四川省自贡市第一人民医院放射科(四川自贡 643000)

【关键词】副神经节瘤;颅内肿瘤;文献复习

【中图分类号】R739.4 【文献标识码】D

DOI:10.3969/j.issn.1672-5131.2022.06.061

A Case of Intracranial Giant Paraganglioma and Review of Literature

HUANG Yan-tao*, LENG Yuan-yuan, YANG Jing, XIAO Rui, ZHENG Chun-yan.

Department of Radiology, First People's Hospital of Zigong City, Zigong 643000, Sichuan Province, China

1 临床资料

女,53岁,因"左眼视力进行性下降8+年"就诊。近年来患者无明显诱因下出现左眼视力下降,右眼视力正常,无视野缺损、眩晕、黑矇、肢端肥大、烦躁易怒、头痛等不适。患者未予重视,近期左眼视力进行性下降,右眼视力正常。

相关检查:术前皮质醇(Corl): 3310mmoL/L(176.57~629.05mmoL/L),术后1月复查: 730mmoL/L。CT平扫: 鞍区及左侧额部区域见一巨大不均匀较高密度肿块,边界较清楚,最大层面约 7.1×5.2 cm,邻近组织结构受压,中线结构略右移(图1)。MRI: 鞍区及左侧额部见巨大不规则肿块影,大小约7.5x7.1x5.4cm,信号不均匀, T_1 WI呈等低信号, T_2 WI呈混杂稍高信号,FLAIR呈稍高信号,DWI呈高信号,其内信号不均,以边缘位置可见多个小囊状影,增强扫描呈不均匀明显强化;双侧脑室受压,左侧为主;中线结构右移,双侧大脑前动脉受压右移,视交叉受压(图2~图8);根据病灶发生部位并综合CT及MRI征象,影像诊断为垂体大腺瘤。

全麻下行肿瘤切除,术中见:病灶位于鞍内、于视交叉下方推挤鞍隔至脚间池、于视交叉间隙向前生长至前颅底,向后生长至终板、并推入三脑室前方,推挤两侧下丘脑,肿瘤向左上方生长至左额叶深面并推挤左侧侧脑室额角及体部,视交叉及左侧视神经被肿瘤挤压变得菲薄,颜色苍白,血供较差。左侧大脑前动脉A1段至前交通段在视交叉上方被肿瘤包裹,左侧大脑前动脉A1段发出分支向肿瘤供血。双侧大脑前动脉A2段被肿瘤挤向中线右侧;病灶呈暗红色,无包膜,鞍结节及鞍背之间有鞍隔硬脑膜将其缩窄,病灶呈实性,大部分质地较稀软,少部分坚韧,血供丰富;病灶与额叶脑组织、三脑室前壁、下丘脑粘连。术后病理诊断:鞍区副神经节瘤;免疫组化标记结果示:GFAP(+,灶性)、S100(-)、Vim(-)、P-CK(-)、EMA(-)、Syn(+)、CD34(-)、Oligo-2(-)、Ki67(+,1~2%)。

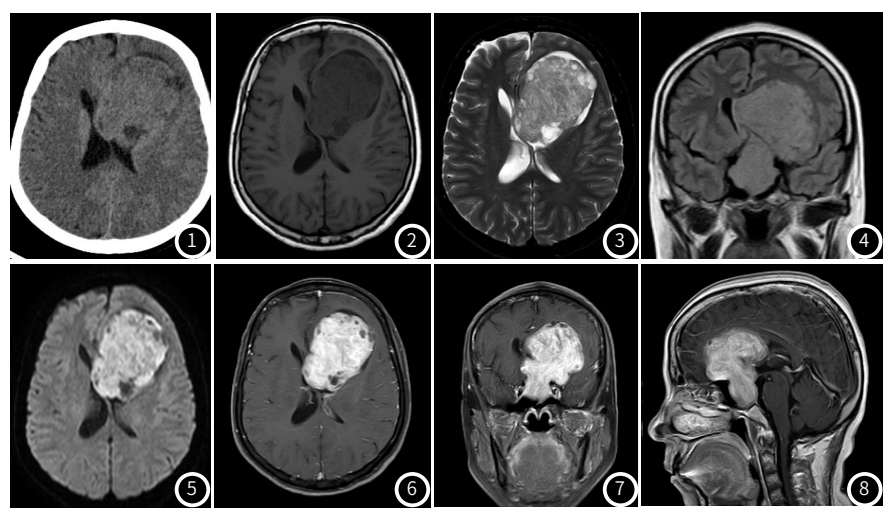


图1 颅脑CT平扫。左额部区域肿块,以等密度为主,病灶边缘见斑片状低密度影,左侧侧脑室明显受压变窄。图2 T₁WI肿块呈等稍低信号。图3 T₂WI呈稍高信号。图4 冠状面FLAIR蝶鞍扩大,鞍区肿块并延伸至左额部区域,呈稍高信号。图5 DWI呈高信号。图6~图8 增强扫描呈明显强化,病灶边缘可见多个结节状无强化区。

2 讨 论

副神经节瘤是一种具有神经内分泌功能的少见肿瘤,肾上腺为其主要发生部位,因颅内没有副神经节,因而发生于中枢神经系统极少见,但随着各种影像检查技术水平的提高,目前颅内副神经节瘤近年来已有相关文献报道^[1-5];其发生机制目前尚不明确,国外的一些文献对此提出了学说解释,但由于病例较少,有待进一步研究证实。

副神经节瘤因含有神经内分泌颗粒而常导致内分泌功能异常,尤其以肾上腺肿瘤最为常见,阵发性高血压、心悸、心慌等临床症状及儿茶酚胺分泌水平明显升高有助于该病的诊断;但对于颅内副神经节瘤而言,相关文献报道中均很少提及激素分泌异常,张烁等^[1]报道中提到患者具有头痛、血压明显升高症状,而本病例中主要以视力异常为首要表现,由此可得,颅内副神经节瘤临床表现各一,与发生部位息息相关。

颅脑CT及MRI检查有助于颅内副神经节瘤的诊断。文献 报道的颅内副神经节瘤基本上位干脑外,以鞍区及其周围最 为常见, 幕上罕见, 本病例发生部位与文献报道相符, 但本 病例影像学表现中具有极大的迷惑性,术前很难想到副神经 节瘤;具体表现如下: (1)病灶大,累及范围广: 鞍区肿块突 破鞍隔向左上方生长至左额叶深面并推挤左侧侧脑室额角及 体部;(2)软组织肿块,无钙化、无骨质破坏:以等密度为 主,其内可见斑片状低密度区; (3)混杂信号: T₁WI呈等稍低 信号, T₂WI呈稍高信号, FLAIR呈较均匀稍高信号, 病灶部 分弥散受限;(4)血供丰富,增强扫描肿块实性部分呈明显强 化,病灶边缘可见较多囊状无强化区;(5)无瘤周水肿。以上 征象中大部分符合垂体大腺瘤表现[6-7],临床上亦无特殊,鉴 别尤其困难;但通过对两者的比较:首先,垂体腺瘤通常情 况下其强化程度低于相应腺体,呈轻、中度强化,而本病例 病灶呈明显强化,其血供情况有所区别;其次,垂体大腺瘤 多由于血供不均匀而导致坏死液化,但基本上坏死区域多位 干病灶靠中心区域,而该病例中多发囊状无强化区位干病灶 边缘,具有一定的鉴别意义;再者,垂体腺瘤中泌乳素、生 长激素常明显升高,尤其是生育期女性泌乳素升高常为首发 特征,而该病例中术前皮质醇明显升高,术后其降低明显, 泌乳素、生长激素等无明显异常,两者之间有所不同,易由

干对颅内副神经节瘤认识不足而导致误诊。

颅内副神经节瘤除了与垂体大腺瘤鉴别外,还需与脑膜瘤、中枢神经细胞瘤等相鉴别。(1)脑膜瘤:常见于大脑镰、蝶骨嵴等区域,多呈宽基底与硬脑膜相连,钙化较常见, T_1WI 呈等稍低信号, T_2WI 及FLAIR呈等稍高信号,增强扫描多呈较明显均匀强化,并常见脑膜"尾"征^[8]。(2)中枢神经细胞瘤:多见于20~30岁人群,好发于侧脑室体部区域,"扇贝"征、"宽基底"征、"皂泡"征、"周围泡泡"征为其特征表现,增强扫描多呈结节状不均匀强化^[9]。

颅内副神经节瘤临床上罕见,影像学上虽具有一定特征性表现,但由于病例少,对其临床及影像学征象认识不足,易误诊,若临床表现中具有阵发性高血压、激素(儿茶酚胺、皮质醇等)分泌异常等典型特征,对该病的诊断具有较大帮助;副神经节瘤多为良性肿瘤,文献报道中颅内副神经节瘤亦可为恶性^[1,3-4],但首选治疗方式仍为手术切除。通过对本病例临床特征、影像学表现综合分析并结合相关文献,旨在提高对该疾病的认识。

参考文献

- [1] 张烁, 程敬亮, 张勇. 颅内恶性副神经节瘤MRI表现1例[J]. 中国介入影像与治疗学, 2019, 16 (7): 449-449.
- [2] 李勇, 李普阳, 许德栋, 等. 颅内副神经节瘤一例并文献复习[J]. 中华脑科疾病与康复杂志(电子版), 2014, 4(1): 56-58.
- [3] 王艳东, 谢坚, 马国佛, 等. 侧脑室副神经节瘤一例并文献复习 [J]. 首都医科大学学报, 2011, 32(6): 854-856.
- [4] 蒋怡然, 苏颞为, 郑旭磊. 颅内恶性副神经节瘤一例 [J]. 上海医学, 2009, 32 (2): 170-171.
- [5] 罗萍, 李坤成, 杨小平, 等. 鞍区副神经节瘤的MR诊断—附1例报告及文献复习[J]. 罕少疾病杂志, 2005, 12(2): 12-14, 17.
- [6] 谢晟. 垂体MRI的临床应用要点[J]. 中华放射学杂志, 2019, 53(9): 797-800.
- [7] 廖磊, 汤韬, 王良敏. MRI 对垂体瘤的诊断及鉴别价值[J]. 中国CT和MRI 杂志, 2019, 17(12): 8-10.
- [8] 陈智慧, 陈任政, 司徒敏婷, 等. 脑膜瘤影像分析及鉴别诊断[J]. 中国CT和MRI杂志, 2020, 18(2): 54-56.
- [9] 李晓丹, 郭柳姬, 徐乙凯, 等. 磁共振特征诊断中枢神经细胞瘤 [J]. 中国医学影像技术, 2018, 34(2): 200-204.

(收稿日期: 2020-10-25)